

ПРИМЕНЕНИЕ КОМПЬЮТЕРНОЙ СИСТЕМЫ *MATHEMATICA* ДЛЯ ОПРЕДЕЛЕНИЯ ФУНКЦИЙ ФОРМЫ ДВУМЕРНЫХ КОНЕЧНЫХ ЭЛЕМЕНТОВ

Белорусский государственный университет
Минск, Беларусь

Метод конечных элементов в настоящее время является одним из самых распространенных методов решения линейных и нелинейных прикладных задач, например изучения тепловых процессов, прочностных расчетов, проблем динамики жидкости [4–7]. Наглядность метода и сравнительная простота его применения в случае областей сложной формы сделали его весьма популярным среди широкого круга инженерных работников. На основе этого метода создан и успешно эксплуатируются ряд программных комплексов прикладных расчетов, в частности пакеты ANSYS [1], NASTRAN [2] и др. Тем не менее, любой конечно-элементный пакет является лишь инструментом для расчета необходимых пользователю характеристик элемента конструкции или детали при заданных граничных условиях. Поэтому по-прежнему большую роль играет освоение общих методов построения конечно-элементных моделей непрерывных полей и их применение при решении типичных задач механики сплошной среды и машиностроения. В настоящей работе представлены алгоритмы использования функциональных средств внешнего пакета *Structural Mechanics* расширения компьютерной системы *Mathematica*, позволяющих определить функции формы для различных двумерных конечных элементов. Отметим, что понятие функции формы является ключевым в концепции метода конечных элементов, поскольку широкие классы задач могут быть решены только при задании определенных интерполяционных функций [4]. Однако выбор функций формы представляет собой вопрос, в решении которого роль пользователя является определяющей. Функциональные средства пакета *Structural Mechanics* позволяют вычислить двумерные функции формы для лагранжевых, эрмитовых, треугольных, прямоугольных и серендиповых конечных элементов, а также самостоятельно определять пользователю функции формы для нестандартных элементов.

Простой и универсальный способ получения функций формы двумерных конечных элементов состоит в перемножении соответствующих интерполяционных полиномов от переменных u и x [3]. Так, функции формы для прямоугольного элемента с четырьмя узлами в углах можно получить как произведения линейных многочленов Лагранжа. Применим этот подход, чтобы вычислить двумерные функции формы для квадратичного элемента, узловые точки которого находятся в точках с координатами (1, 1), (1,-1), (-1,-1) и (-1, 1). При расчете используем результаты функции *HermiteElement1D*, предназначенной для нахождения эрмитовых функций формы для одномерных элементов.

Transpose[HermiteElement1D[{-1,1},0,x]].HermiteElement1D[{-1,1},0,y]

$$\left\{ \left\{ \frac{1}{4} (1-x) (1-y), \frac{1}{4} (1-x) (1+y) \right\}, \left\{ \frac{1}{4} (1+x) (1-y), \frac{1}{4} (1+x) (1+y) \right\} \right\}$$

Такой подход можно применять для нахождения функций формы конечных элементов с любым количеством регулярно расположенных узловых точек. Ниже приведен пример нахождения функций формы для квадратичного элемента с девятью узлами, расположенными в точках (0, 0), (1, 1), (1, 0), (1,-1), (0, -1), (-1,-1), (-1, 0), (-1, 1) и (0, 1).

Transpose[HermiteElement1D[{-1,0,1},0,x]].HermiteElement1D[{-1,0,1},0,y]

$$\left\{ \left\{ \frac{1}{4} (-1+x) x (-1+y) y, -\frac{1}{2} (-1+x) x (-1+y) (1+y), \frac{1}{4} (-1+x) x y (1+y) \right\}, \right. \\ \left. \left\{ -\frac{1}{2} (-1+x) (1+x) (-1+y) y, (-1+x) (1+x) (-1+y) (1+y), -\frac{1}{2} (-1+x) (1+x) y (1+y) \right\}, \right. \\ \left. \left\{ \frac{1}{4} x (1+x) (-1+y) y, -\frac{1}{2} x (1+x) (-1+y) (1+y), \frac{1}{4} x (1+x) y (1+y) \right\} \right\}$$

Более сложным является расчет интерполяционных функций в случае, когда узловые точки прямоугольного или треугольного элемента расположены нерегулярно, поскольку получить функции формы путем скалярного произведения не представляется возможным. Треугольный и квадратичный конечные элементы с нерегулярным расположением узлов показаны на рис. 1 (при построении использована графическая функция ElementPlot пакета *Structural Mechanics*).

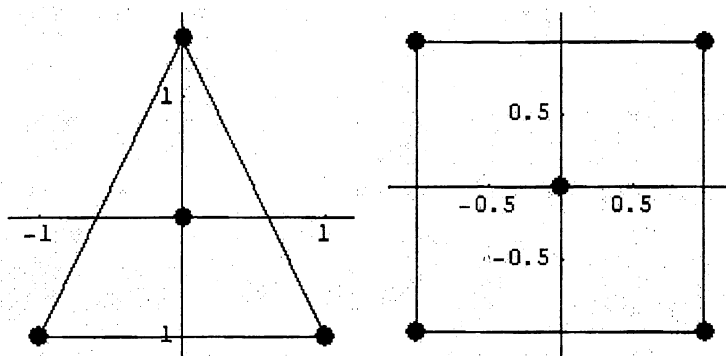


Рисунок 1 - Конечные элементы с нерегулярным расположением узлов

Для нахождения функций формы различных треугольных и прямоугольных конечных элементов предназначены функции *TriangularCompleteness*, *Rectangular-Completeness* и *ShapeFunction2D*. Первые две функции находят значения степеней одночленов в интерполяционных функциях треугольного и прямоугольного элементов соответственно. В качестве входных аргументов этих функций указывается количество узловых точек, порядок непрерывности интерполяционных функций, а также минимальное количество симметрических одночленов, которые можно исключить из соответствующих функций формы. Заметим, что если последнее значение противоречит требованию полноты структуры результирующих полиномов [4], выдается предупреждающее сообщение. В качестве примера вычислим список степеней одночленов лагранжевых функций формы для треугольного элемента с четырьмя узловыми точками, показанного на рисунке 1 (порядок непрерывности равен нулю). Минимальное количество симметрических одночленов, которые можно опустить в полном полиноме интерполяционной функции, также принимаем равным нулю.

com=TriangularCompleteness[4,0,0]

{CompletePolynomialDegree→2,ContinuityOrder→0,CompletePolynomialTerms→6,
CompleteSymmetricTerms→2,CompleteAntisymmetricTerms→4,ExtraTerms→2,
SymmetricTerms→{{0,0},{1,1}},SymmetricTermsDropped→{},
AntisymmetricTerms→{{1,0},{0,1}},AntisymmetricTermsDropped→{{2,0},{0,2}}}

Анализируя эти результаты, можно установить те одночлены, которые будут использоваться в функциях формы, а также те одночлены, которые следует исключить из этих функций. Так, первый элемент этого списка *CompletePolynomialDegree→2* подразумевает, что все многочлены в интерполяционных функциях формы будут состоять из одночленов степени не выше второй. Второй элемент *ContinuityOrder→0* накладывает требование на порядок непрерывности функции формы. *CompleteSymmetricTerms→2* и *CompleteAntisymmetricTerms→4*

указывают на то, что полный полином интерполяционной функции включает два симметрических и четыре антисимметрических одночлена. Выражение `SymmetricTerms→{{0,0},{1,1}}` говорит о том, что в результирующем полиноме будут использованы симметрические одночлены, представляющие собой произведения нулевых и первых степеней двух переменных, а именно одночлены 1 и xy . `SymmetricTermsDropped` указывает на те симметрические одночлены, которые будут опущены в интерполяционной функции. В случае если `SymmetricTermsDropped→{}`, то ни один из симметрических одночленов не будет исключен. Выражение `AntisymmetricTerms→{{1,0},{0,1}}` указывает на то, что в функцию формы будут включены только два антисимметрических одночлена x и y . Последний элемент списка `AntisymmetricTermsDropped→{{2,0},{0,2}}` говорит о том, что антисимметрические одночлены x^2 и y^2 будут исключены из полинома интерполяционной функции.

Необходимую информацию об одночленах функций формы прямоугольного конечного элемента позволяет получить функция `RectangularCompleteness`, аргументы которой имеют тот же смысл, что и аргументы функции `TriangularCompleteness`. Данные, представленные в результирующем списке `com` функций `TriangularCompleteness` и `RectangularCompleteness`, содержат полную информацию о двумерной функции формы элемента и используются в аргументе функции `ShapeFunction2D[com, nodelist, {x,y}, ders]`, которая предназначена для нахождения функций формы двумерных элементов. Аргумент `nodelist` этой функции является списком координат узловых точек, `{x,y}` – переменные, `ders` – список частных производных по x и y (для случая лагранжевых двумерных интерполяционных функций аргумент `ders` не указывается).

Приведем пример применения функций `RectangularCompleteness` и `ShapeFunction2D` для вычисления функций формы прямоугольного серендипова элемента с двенадцатью узловыми точками, координаты которых составляют следующий список `pts`. Положение узловых точек этого элемента показано на рисунке 2.

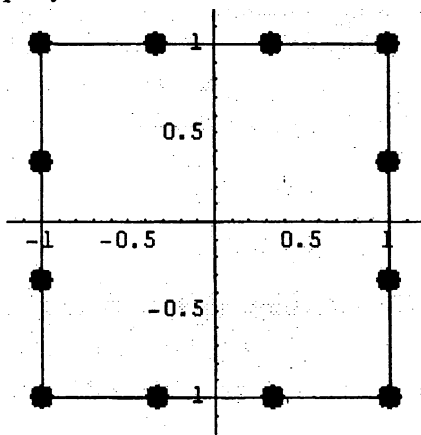


Рисунок 2 - Серендипов элемент с двумя узлами

При вычислении степеней соответствующих одночленов интерполяционных полиномов зададим аргумент `sum` равным двум, чтобы опустить два симметрических одночлена в результирующем полиноме.

```
com1=RectangularCompleteness[12,0,2]
{CompletePolynomialDegree→3,ContinuityOrder→0,CompletePolynomialTerms→16,
CompleteSymmetricTerms→4,CompleteAntisymmetricTerms→12,ExtraTerms→4,
SymmetricTerms→{{0,0},{1,1}},SymmetricTermsDropped→{{2,2},{3,3}},
```

AntisymmetricTerms→{{1,0},{2,0},{2,1},{3,0},{3,1},{0,1},{0,2},{1,2},{0,3},{1,3}},AntisymmetricTermsDropped→{{3,2},{2,3}}}

Далее, используя функцию ShapeFunctions2D, найдем двенадцать функций формы. Ввиду громоздкости искомого списка функций выпишем первую, четвертую, восьмую и двенадцатую интерполяционные функции.

```
pts={{1/3,1},{1,1},{1,1/3},{1,-1/3},{1,-1},{1/3,-1},
{-1/3,-1},{-1,-1},{-1,-1/3},{-1,1/3},{-1,1},{-1/3,1}};
```

```
sfr=ShapeFunctions2D[com1,pts,{x,y},{}]/Expand;
Take[%,{1,4,8,12}]/TableForm;
```

$$\begin{aligned} & \frac{9}{32} + \frac{27x}{32} - \frac{9x^2}{32} - \frac{27x^3}{32} + \frac{9y}{32} + \frac{27xy}{32} - \frac{9x^2y}{32} - \frac{27x^3y}{32}, \\ & \frac{9}{32} + \frac{9x}{32} - \frac{27y}{32} - \frac{27xy}{32} - \frac{9y^2}{32} - \frac{9xy^2}{32} + \frac{27y^3}{32} + \frac{27xy^3}{32}, \\ & \frac{9}{32} - \frac{27x}{32} - \frac{9x^2}{32} + \frac{27x^3}{32} - \frac{9y}{32} + \frac{27xy}{32} + \frac{9x^2y}{32} - \frac{27x^3y}{32}, \\ & \frac{9}{32} - \frac{9x}{32} + \frac{27y}{32} - \frac{27xy}{32} - \frac{9y^2}{32} + \frac{9xy^2}{32} - \frac{27y^3}{32} + \frac{27xy^3}{32}. \end{aligned}$$

Продемонстрировать выполнение одного из требований, предъявляемых к функциям формы [3, 4], позволяющих соответствующие трехмерные поверхности. Так, на рисунке 3 приведены две поверхности, описываемые одиннадцатой и двенадцатой функцией формы из списка sfr.

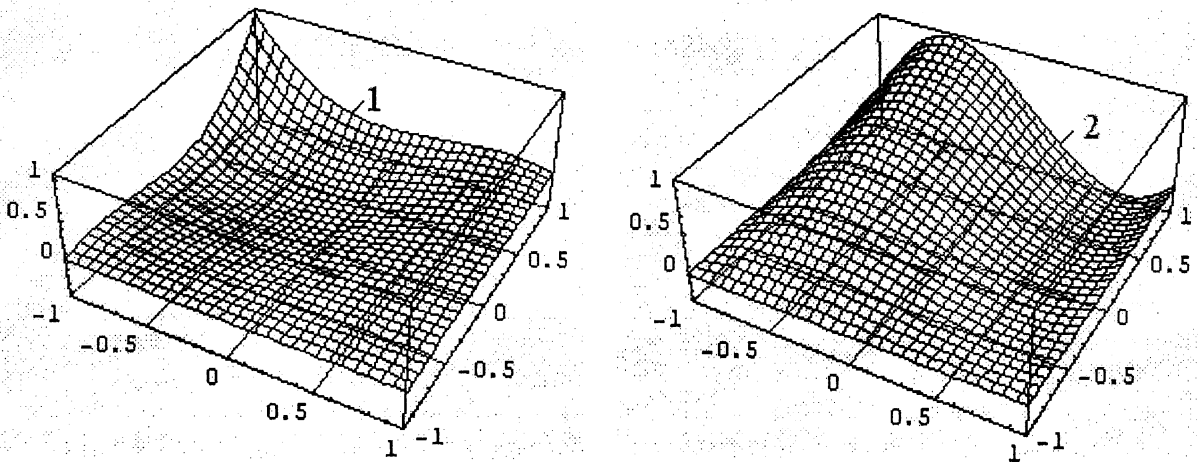


Рисунок 3 - Поверхности, описываемые одиннадцатой (1) и двенадцатой (2) функциями формы

Из рисунка 3 видно, что одиннадцатая и двенадцатая функции формы равны единице в соответствующем узле, а в остальных одиннадцати узлах, расположенных по сторонам прямоугольного элемента, принимают нулевые значения.

Заметим, что в некоторых случаях функция ShapeFunctions2D не способна вычислить список функций формы, поскольку соответствующая этим вычислениям система уравнений является неразрешимой. В таких случаях результатом ShapeFunctions2D оказывается список нулей. Так, для треугольного элемента, представленного на рис. 1, получим (узловые эле-

менты и информация о линейных одночленах описываются списками точек `ders` и `com` соответственно):

```
ders={{1,-1},{-1,-1},{0,3/2},{0,0}};  
ShapeFunctions2D[com,ders,{x,y}];  
{0,0,0,0}.
```

Полученный список означает, что одночлены, определяемые списком `com`, не соответствуют функциям формы конечного элемента, описанного данным списком координат четырех узловых точек. Иначе говоря, получить интерполяционные функции для этого элемента, выраженные через одночлены x , y и константу, не представляется возможным. В этом случае добиться положительного результата можно с помощью использования одночленов более высокого порядка.

ЛИТЕРАТУРА

1. Чигарев, А. В., Кравчук, А. С., Смалюк, А. Ф. ANSYS для инженеров. М.: Машиностроение-1, 2004. 512 с. 2. Шимкович Д. Г. Применение MSC/NASTRAN при расчете строительных конструкций. 3. Зенкевич, О. Метод конечных элементов в технике. М.: Мир, 1975. 544 с. 4. Зенкевич, О., Морган, К. Конечные элементы и аппроксимация. М.: Мир, 1986. 318 с.

УДК 621.359.48

Авдейко В.П., Оськин Д.А.

МАЛОГАБАРИТНЫЙ ФИЛЬТР ДЛЯ УЛАВЛИВАНИЯ ПРОМЫШЛЕННЫХ ПЫЛЕЙ.

*Полоцкий государственный университет
Новополоцк, Беларусь*

Электрофильтр является универсальным газоочистным аппаратом с высокой степенью очистки и низкими энергетическими затратами [1]. Он не только успешно конкурирует с тканевыми фильтрами [2], но в некоторых случаях является единственным газоочистным аппаратом. Например, при очистке воздуха от цементной пыли остаточный цемент адсорбирует атмосферную влагу, и твердая фракция забивает фильтрующую ткань. При этом регенерация фильтра становится невозможной, резко возрастает сопротивление газовому потоку и тканевый фильтр выходит из строя.

В электрофильтре роль фильтрующей ткани играет электрическое поле, практически не имеющее гидравлического сопротивления.

Несмотря на многообразие конструкций электрофильтров [3], все они работают по одной технологической схеме. Частицы пыли заряжаются в поле коронного разряда и по мере движения пылегазового потока в электрическом поле осаждаются на электродах под действием кулоновской силы и удерживаются на них благодаря адгезии и когезии. Регенерация электрофильтра производится периодически, чаще всего ударно-молотковой или вибрационной системой встряхивания.

Анализируя пути повышения эффективности работы электрофильтра, следует отметить два основных направления:

1. Повышение эффективности скорости дрейфа частиц к электродам;
2. Оптимальная организация процесса осаждения и регенерации.